

## ОБРАБОТКА ИЗОБРАЖЕНИЙ

*В. В. Котляр, В. А. Сойфер*

### "ВИНТОВОЙ" ПРОСТРАНСТВЕННЫЙ ФАЗОВЫЙ ФИЛЬТР

#### ВВЕДЕНИЕ

Впервые "винтовые" фазовые фильтры были упомянуты в [1], где было предложено выражение для функции пропускания пространственного фазового фильтра, фокусирующего в узкое кольцо. В [2] были описаны "винтовые" дислокации когерентного волнового поля. В местах таких дислокаций волновой фронт описывается комплексной амплитудой, фазовая часть которой тождественна фазовой функции пропускания "винтового" фильтра из [1]. В работе [3] "винтовой" фазовый фильтр применен для реализации оптического преобразования Ханкеля. Также в [3] впервые сообщается о реализации такого фильтра с помощью технологии компьютерной оптики. В [4] описано применение "винтового" фазового фильтра для задач оптической обработки информации: выполнения операции дифференцирования и оптического осуществления преобразования Гильберта для радиально-симметричных когерентных световых полей.

В данной работе приводятся новые аналитические выражения, связанные с дифракцией когерентного света на "винтовых" фазовых фильтрах.

#### "ВИНТОВОЙ" ФИЛЬТР ДЛЯ ФОКУСИРОВКИ В КОЛЬЦО

Под "винтовым" фазовым фильтром здесь понимается пространственный фильтр с функцией комплексного пропускания  $F(\rho, \varphi)$  вида

$$F(\rho, \varphi) = A(\rho) e^{im\varphi}, \quad (1)$$

где  $m = 1, 2, 3, \dots$ ,  $A(\rho)$  – амплитудно-фазовая функция, зависящая только от радиальной переменной,  $(\rho, \varphi)$  – полярные координаты в плоскости фильтра.

В [1] предлагалось использовать для фокусировки в кольцо оптический фазовый элемент с функцией пропускания  $F_1(\rho, \varphi)$  вида

$$F_1(\rho, \varphi) = \operatorname{sgn} \left\{ J_m(\alpha\rho) \right\} e^{im\varphi}, \quad (2)$$

где  $\operatorname{sgn} \{f(x)\}$  – знакомая функция,  $J_m(x)$  – функция Бесселя первого рода  $m$ -го порядка. Оптическая схема для расположения фильтра (2) согласно [1] показана на рис. 1. Обозначения на рис. 1 следующие:  $\lambda$  – длина волны света,  $a$  – радиус линзы и фильтра, которые расположены вплотную друг к другу,  $f$  – фокальное расстояние линзы,  $R$  – радиус кольцевого распределения интенсивности света в фокальной плоскости.

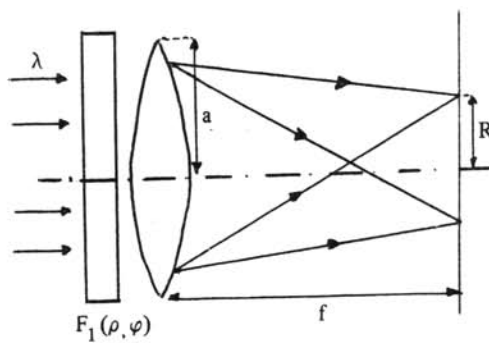


Рис. 1

Обоснование, что фильтр (2) формирует кольцо в фокальной плоскости линзы, в работе [1] дано с привлечением результатов численного моделирования. Понять же это можно следующим образом. Если бы пропускание фильтра  $F_1(\rho, \varphi)$  имело бы вид

$$\tilde{F}_1(\rho, \varphi) = J_m(\alpha \rho) e^{im\varphi}, \quad (3)$$

то в фокальной плоскости световое поле, продифрагировавшее на таком фильтре, имело бы распределение амплитуды  $\Phi(r, \psi)$  в виде

$$\begin{aligned} \Phi(r, \psi) &= \int_0^\infty \int_0^{2\pi} \tilde{F}_1(\rho, \varphi) \exp\left[\frac{ik}{f} r \rho \cos(\varphi - \psi)\right] \rho d\rho d\varphi = \\ &= e^{im\psi} \int_0^\infty J_m(\alpha \rho) J_m\left(\frac{k}{f} r \rho\right) \rho d\rho = e^{im\psi} \delta\left(\alpha - \frac{k}{f} r\right), \end{aligned} \quad (4)$$

где  $k$  — волновое число света,  $\delta(x)$  — дельта-функция Дирака. То есть распределение интенсивности было бы в виде бесконечно узкого кольца с радиусом  $R = \frac{\alpha f}{k}$ . Если в функции пропускания  $\tilde{F}_1(\rho, \varphi)$  заменить амплитудную часть на единицу, а оставить только фазовую часть, при этом получим функцию пропускания (2) вместо (3), то основная часть энергии излучения, из-за сохранения фазовой части функции пропускания, по-прежнему будет фокусироваться в кольцо с радиусом  $R = \frac{\alpha f}{k}$ , а оставшаяся часть падающей на фильтр (2) энергии (около 20%) будет собираться в кольца с другими радиусами.

Оказывается можно сформировать световое поле перед линзой (рис. 1), описываемое комплексной амплитудой вида (3), с помощью фазового пространственного фильтра с пропусканием

$$F_2(\rho, \varphi) = e^{i(-\alpha \rho + m\varphi)}, \quad \alpha > 0, \quad (5)$$

причем данный фильтр будет уже всю энергию (за исключением дифракционных потерь) фокусировать в кольцо с радиусом  $R = \frac{\alpha f}{k}$ .

Наличие "винтовой" составляющей в функции пропускания (5) обеспечивает отсутствие изолированного максимума энергии в нулевой пространственной частоте фокальной плоскости. Заметим, что радиально-линейная составляющая фазы в функции пропускания описывает пропускание аксикона, который уже применялся для фокусировки в кольцо [5].

Получим выражение, описывающее максимальное значение интенсивности света в кольце на радиусе  $R = \frac{\alpha f}{k}$  в зависимости от параметра  $\alpha$  аксикона или от требуемого радиуса кольца  $R$ . Распределение комплексной амплитуды света  $\Phi(r, \psi)$  в фокальной плоскости линзы для пропускания фильтра (5) будет иметь вид

$$\Phi(r, \psi) = \frac{k}{f} e^{ikf} e^{\frac{ik}{2f} r^2} \int_0^\infty \int_0^{2\pi} e^{-i\alpha \rho} e^{im\varphi} e^{\frac{ik}{f} r \rho \cos(\varphi - \psi)} \rho d\rho d\varphi. \quad (6)$$

Максимальное значение модуля  $|\Phi(r, \psi)|$  находится из условия равенства нулю фазы в подынтегральном выражении (6), то есть при условии

$$\alpha \rho = \frac{k}{f} r \rho \cos(\varphi - \psi),$$

которое выполняется для точек кольца с радиусом  $\alpha = \frac{k}{f} r$  или

$$R = \frac{\alpha f}{k}. \quad (7)$$

При этом условии вместо (6) получим выражение

$$\Phi(R, \psi) = \frac{k}{f} e^{ikf} e^{im\psi} e^{\frac{ik}{2f} R^2} \int_0^\infty e^{-i\alpha \rho} J_m(\alpha \rho) \rho d\rho. \quad (8)$$

Пусть далее для простоты  $m = 1$ , тогда, воспользовавшись известным выражением (стр. 39 в [6])

$$\int_0^{\xi} e^{ix} J_1(x) x dx = \frac{\xi^2 e^{i\xi}}{3} [J_1(\xi) - i J_2(\xi)], \quad (9)$$

получим для максимальной интенсивности в Фурье-плоскости  $I(R)$  выражение

$$I(R) = |\Phi(R, \psi)|^2 = \left(\frac{k}{f}\right)^2 \frac{a^4}{9} [J_1^2(\alpha a) + J_2^2(\alpha a)], \quad (10)$$

или в обозначениях:  $\omega = \frac{f}{ka}$  – радиус дифракционного пятна,  $R$  – радиус требуемого кольца, получим следующее выражение

$$I(R) = \frac{1}{18\pi} \left(\frac{a}{\omega}\right)^2 [J_1^2\left(\frac{R}{\omega}\right) + J_2^2\left(\frac{R}{\omega}\right)]. \quad (11)$$

Из (11) видно, что при стремлении  $R$  к нулю интенсивность на кольце стремится к нулю как  $R^2$ , а при стремлении  $R$  к бесконечности интенсивность на кольце стремится к нулю как  $R^{-1}$ .

Аналогичное выражение можно получить и при  $m = 0$ , то есть для случая, когда в качестве фильтра используется только аксикон без "винтовой" составляющей. При этом вместо (9) воспользуемся выражением (стр. 39 в [6])

$$\int_0^{\xi} e^{ix} J_0(x) x dx = e^{i\xi} \left\{ \xi J_1(\xi) - \frac{\xi^2}{3} J_2(\xi) + i \frac{\xi^2}{3} J_1(\xi) \right\}. \quad (12)$$

Тогда получим выражение для максимальной интенсивности на кольце, сформированном только аксиконом

$$I_1(R) = \frac{1}{18\pi} \left(\frac{a}{\omega}\right)^2 [J_1^2\left(\frac{R}{\omega}\right) + J_2^2\left(\frac{R}{\omega}\right)] + \frac{1}{2\pi} \left(\frac{a}{\omega}\right)^2 [J_1^2\left(\frac{R}{\omega}\right) \cdot \left(\frac{R}{\omega}\right)^{-2} - \frac{2}{3} \left(\frac{R}{\omega}\right)^{-1} J_1\left(\frac{R}{\omega}\right) J_2\left(\frac{R}{\omega}\right)]. \quad (13)$$

Из сравнения (11) и (13) видно, что выражение для  $I_1(R)$  отличается от выражения для  $I(R)$  слагаемым (второе слагаемое в квадратных скобках в (13)), которое при стремлении  $R$  к нулю не зануляется, а стремится к постоянной  $\frac{1}{2\pi} \left(\frac{a}{\omega}\right)^2$ . Это подтверждает вывод о том, что наличие в оптическом элементе для фокусировки в кольцо "винтовой" фазовой составляющей обеспечивает отсутствие излучения в центре плоскости фокусировки.

Из сравнения (11) и (13) также видно, что при увеличении  $R$  второе слагаемое в квадратных скобках в (13) становится гораздо меньше первого слагаемого. То есть выражения для  $I_1(R)$  и  $I(R)$  становятся почти одинаковыми при  $R \gg \omega$ . Это означает, что при фокусировке в кольцо с радиусом много большим радиуса дифракционного пятна добавление "винтового" фильтра не приводит к заметным преимуществам по сравнению с использованием только одного аксикона.

#### ДИФРАКЦИЯ СВЕТА НА "ВИНТОВОМ" ФАЗОВОМ ФИЛЬТРЕ

Получим выражение для распределения интенсивности света в зоне дифракции Френеля для случая освещения плоской монохроматической волной фазового фильтра с функцией комплексного пропускания в виде  $F_3(\varphi) = \exp(i\varphi)$ . В этом случае комплексная амплитуда светового поля  $\Phi(\rho, \psi; z)$  получается как результат преобразования Френеля-Бесселя от функции  $F_3(\varphi)$ :

$$\begin{aligned} \Phi(\rho, \psi; z) &= \frac{k}{z} e^{ikz} e^{-\frac{ik}{2z}\rho^2} \int_0^{\infty} \int_0^{2\pi} e^{i\varphi} e^{-\frac{ik}{2z}r^2} e^{i\frac{k}{z}r\rho\cos(\varphi-\psi)} r dr d\varphi = \\ &= \frac{k}{z} e^{ikz} e^{-\frac{ik}{2z}\rho^2} e^{im\psi} \int_0^{\infty} e^{-\frac{ik}{2z}r^2} J_1\left(\frac{k}{z}r\rho\right) r dr. \end{aligned} \quad (14)$$

Далее используя выражение (стр. 198 в [6])

$$\int_0^{\infty} x e^{-ibx^2} J_1(cx) dx = \frac{c}{8b} \sqrt{\frac{\pi}{b}} e^{-i\frac{\pi}{4}} e^{i\frac{c^2}{8b}} [iJ_0\left(\frac{c^2}{8b}\right) + J_1\left(\frac{c^2}{8b}\right)], \quad (15)$$

получим вместо (14) следующее выражение

$$\Phi(\rho, \psi; z) = \frac{1}{2} \sqrt{\frac{\pi k}{2z}} \rho e^{iA(\rho, \psi)} [iJ_0\left(\frac{k}{4z}\rho^2\right) + J_1\left(\frac{k}{4z}\rho^2\right)], \quad (16)$$

где  $A(\rho, \psi) = kz + m\psi - \frac{k}{2z}\rho^2 - \frac{\pi}{4}$ .

Окончательное выражение для интенсивности света в зоне дифракции Френеля для случая падения плоской волны на "винтовой" фазовый фильтр имеет вид

$$I(x) = \frac{\pi}{2} x^2 [J_0^2(x^2) + J_1^2(x^2)], \quad (17)$$

где  $x = \rho \sqrt{\frac{k}{4z}}$ . Вид функции  $I(x)$  показан на рис. 2. Из рисунка видно, что по мере распространения света в пространстве за фильтром в центральной части светового пучка образуется область с пониженной интенсивностью, которая расширяется пропорционально расстоянию  $z$ . Радиус этой области пониженной интенсивности равен  $x_0 \approx 1$  или  $\rho_0 \approx 2\sqrt{\frac{z}{k}}$ . Так как интеграл в (14) берется в бесконечных пределах, то есть считается, что размеры фильтра не ограничены, то величина интенсивности  $I(x)$  не спадает при стремлении  $\rho$  к бесконечности, а асимптотически стремится к постоянному значению (см. рис. 2).

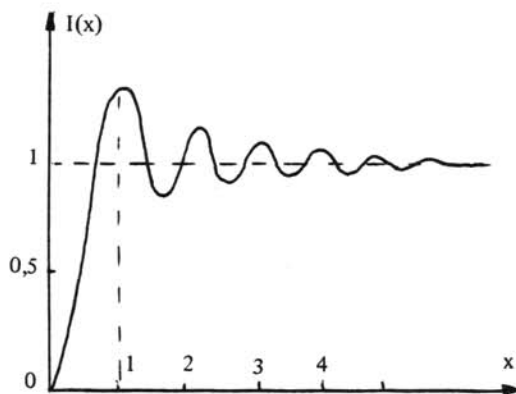


Рис. 2

Получим далее выражение для комплексной амплитуды света в дальней зоне для случая дифракции плоской монохроматической волны на "винтовом" фазовом фильтре с радиусом  $a$ . При этом вместо (14) выражение для амплитуды света  $\Phi_1(\rho, \psi)$  будет иметь вид

$$\Phi_1(\rho, \psi) = \frac{k}{z} e^{ikz} e^{-\frac{ik}{2z}\rho^2} e^{im\psi} \int_0^a J_1\left(\frac{k}{z}\rho r\right) r dr. \quad (18)$$

Для вычисления интеграла в (18) воспользуемся выражением (стр. 39 в [6])

$$\int_0^\xi J_1(x) x dx = \frac{\pi}{2} \xi [J_1(\xi) H_0(\xi) - J_0(\xi) H_1(\xi)], \quad (19)$$

где  $H_n(\xi)$  – функция Струве, которая имеет вид для  $n = 0, 1$ :

$$H_0(x) = \frac{2}{\pi} \left[ x - \frac{x^3}{9} + \frac{x^5}{9 \cdot 25} - \dots \right] = \frac{2x}{\pi} {}_1F_2\left(1; \frac{3}{2}; \frac{3}{2}; -\frac{x^2}{4}\right),$$

$$H_1(x) = \frac{2}{\pi} \left[ \frac{x^2}{3} - \frac{x^4}{9 \cdot 5} + \frac{x^6}{9 \cdot 25 \cdot 7} - \dots \right] = \frac{2x^2}{\pi} {}_1F_2\left(1; \frac{3}{2}; \frac{5}{2}; -\frac{x^2}{4}\right),$$

где  ${}_1F_2(a; b; c; x)$  – гипергеометрическая функция.

Для интенсивности света в дальней зоне дифракции с учетом (19) получим вместо (18) выражение

$$I_1(\rho) = |\Phi_1(\rho, \psi)|^2 = \frac{\pi}{2} \frac{a}{\rho} \left[ J_1\left(\frac{\rho}{\omega}\right) H_0\left(\frac{\rho}{\omega}\right) - J_0\left(\frac{\rho}{\omega}\right) H_1\left(\frac{\rho}{\omega}\right) \right]^2, \quad (20)$$

где  $\omega = \frac{z}{ka}$  – радиус дифракционного пятна,  $z$  – расстояние от фильтра до плоскости наблюдения,  $a$  – радиус фильтра. Из (20) следуют асимптотические оценки:

$$\begin{cases} I_1(\rho) \sim \rho; & \rho \rightarrow 0 \\ I_1(\rho) \sim \rho^{-\frac{3}{2}}; & \rho \rightarrow \infty. \end{cases}$$

Из (17) и (20) видно, что на всем протяжении распространения света, продифрагировавшего на "винтовом" фазовом фильтре, в центральной части пучка нет энергии излучения.

#### ЗАКЛЮЧЕНИЕ

В работе предложено использовать для фокусировки в кольцо оптический элемент с функцией пропускания вида (5), в котором наряду с радиально-линейной составляющей фазы, описывающей пропускание аксикона, име-

ется азимутально-линейная ("винтовая") составляющая фазы, которая обеспечивает отсутствие энергии света в центральной точке плоскости фокусировки.

Получены выражения (11) и (13) для зависимости максимальной интенсивности света на кольце от радиуса самого кольца.

Получены выражения (17) и (20) для распределения интенсивности света в зонах дифракции Френеля и Фраунгофера (дальняя зона) для случая дифракции плоской монохроматической волны на "винтовом" фазовом фильтре. Показано, что на всем протяжении светового пучка, продифрагировавшего на фильтре, энергия света в центре пучка равна нулю.

#### Л и т е р а т у р а

1. *Fedotowsky A., Lehovec K.* Appl. Opt., 1974, v. 13, N 12, p. 2919.
2. *Баранова Н. Б., Зельдович Б. Я.* ЖЭТФ, 1981, т. 80, вып. 5, с. 1789.
3. *Березин А. Е., Прохоров А. М., Сисакян И. Н., Сойфер В. А.* ДАН СССР, 1984, т. 274, № 4, с. 802.
4. *Котляр В. В., Сойфер В. А.* Письма в ЖТФ, 1990, т. 16, вып. 12, с. 11.
5. *McLeod J. H.* JOSA, 1954, v. 44, N 8, p. 592.
6. *Прудников А. П., Бричков Ю. А., Маричев О. И.* Интегралы и ряды. Специальные функции., М., Наука, 1983.

\* \* \*